

Acoplamiento por la altura entre
ciclos superiores

y
estructuras de Hodge mixtas

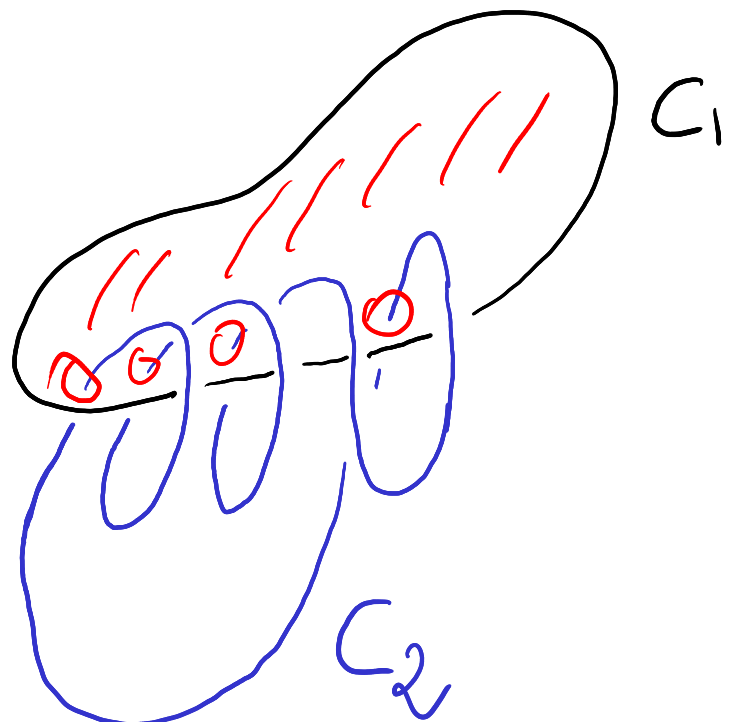
J. I. Burgos Gil (ICMAT)

LATeN 17/6/2021

Junto con S. Goswami y G. Pearlstein

Clases características según davis

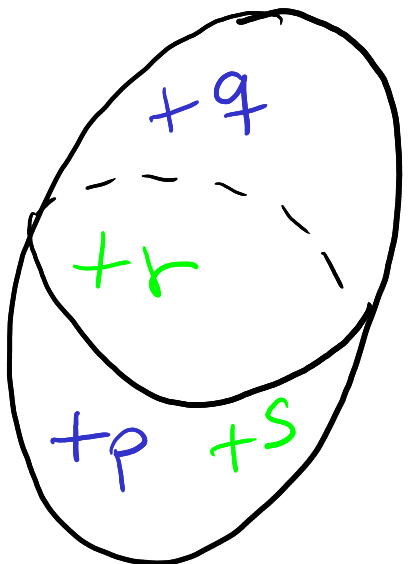
Números de enlace



$$\sigma: \partial\sigma = C_1$$

$$\langle C_1, C_2 \rangle = \sigma \cdot C_2 \\ = 2$$

Ejemplo Algebraico



$P^1(\mathbb{C})$

ciclos $[P] - [q], [r] - [s]$

Existe una función racional
f tal que

$$\text{div}(f) = \underline{[P] - [q]}$$

$$\langle [P] - [q], [r] - [s] \rangle = f([r] - [s])$$

$$= f(r)/f(s)$$

Concretamente

$$f = \frac{t-p}{t-q} ; \langle [p]-[q], [r]-[s] \rangle \\ = \frac{r-p}{r-q} \cdot \frac{s-q}{s-p}$$

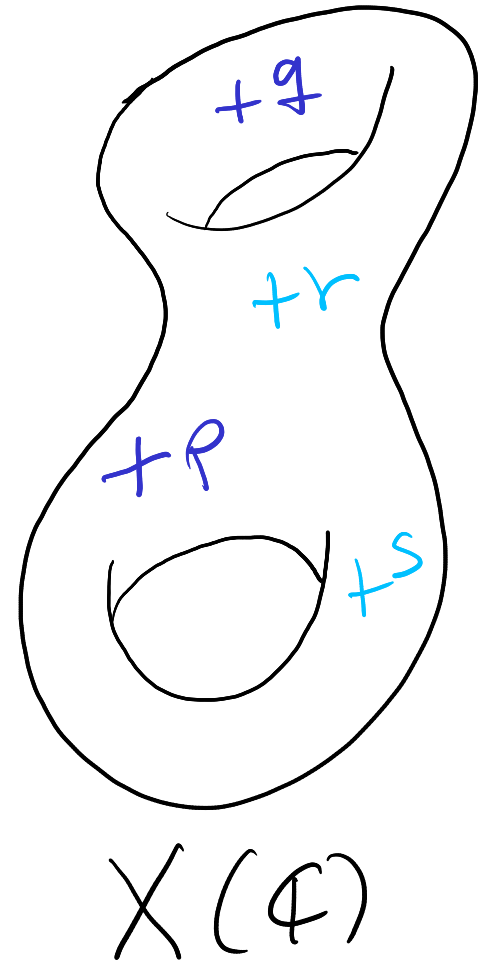
Razón doble

$$= P(p,q; r,s)$$

En curvas de género $g \geq 1$

podemos construir el análogo de

$$\text{Raz} | P(p,q; r,s) |$$



En general

Podemos encontrar una función g
tal que

* g es suave en $X(q) \setminus \{P, q\}$

* Cerca de P

$$g(t) = -\log|t-p| + \text{acotado}$$

Cerca de q

$$g(t) = -\log|t-q| + \text{acotado}$$

* $\bar{\partial}g = 0$

$$\langle [P] - [q], [r] - [s] \rangle_\infty = g(r) - g(s)$$

Si $X = \mathbb{P}^1$: $g(t) = -\log |f(t)|$

Si X está definida sobre \mathbb{Q} (o un cuerpo de números) Z, W cero ciclos de grado 0

$$\langle Z, W \rangle_H = \sum_{V \in M(\mathbb{Q})} \langle Z, W \rangle_V$$

$v = \infty$
productos
que heredan def.

* Generalizado por Arakelov, Gillet-Soulé; ...

Componente Arquimediana de la altura.

X variedad compleja de dimensión n

Z, W ciclos de codimensión p y q con $p+q=n+1$

Tales que : * $d(Z) \in H_B^{2p}(X, \mathbb{R})$

$d(W) \in H_B^{2q}(X, \mathbb{R})$

$$d(Z) = d(W) = 0$$

* $Z \cap W = \emptyset$

Enciende una forma difencial g_z
tal que

- g_z es suave en $X \setminus z$
- g_z tiene singularidades logarítmicas
a lo largo de z
- $\frac{1}{2\pi i} \partial \bar{\partial} \cdot g_z = S_z$ (integración en z)

$$\frac{1}{2\pi i} \int_X g_z \cdot \partial \bar{\partial} w = - \frac{1}{2\pi i} \int_Z c_w$$

g_z es una forma de Green para z

La componente Arquimediana del acoplamiento por la altura es

$$\langle z, w \rangle_\infty = \int_{\underline{w}} g_z$$

- * Se puede extender a una teoría de intersección de ciclos antimétricos (Gillet - Soule').
- * Se puede interpretar en términos de Estructuras de Hodge mixtas (Hain)

Estructuras de Hodge mixtas -

X variedad compacta Kähler ej proyectiva

$H^m(X, \mathbb{C})$ tiene:

* una estructura entera $H^m(X, \mathbb{Z})$

* Una descomposición

$$H^m(X, \mathbb{C}) = \bigoplus_{\underline{p+q=m}} H^{p,q}(X)$$

$$H^{p,q}(X) = H^q(X, \Omega^p)$$

Si X es una variedad abeliana recuperemos X a
partir de $H^1(X, \mathbb{C})$ con una estructura de Hodge

Si X no es compacta o no es suave
 $H^m(X, \mathbb{Q})$ Se puede construir a partir de
 la cohomología de **Varietades suaves proyectivas**
 Nos proporciona una **Estructura de Hodge**
 mixta en $H^m(X, \mathbb{Q})$

- * Una filtración W en $H^m(X, \mathbb{Q})$ peso
- * Una filtración F en $H^m(X, \mathbb{C})$ Hodge
- * en donde $\text{Gr}_m^W H^m(X, \mathbb{Q})$, E induce
 una estructura de Hodge pura de peso m .

Meta teorema

- * Toda buena cohomología que proviene de la geometría tiene una EHM
- * Toda aplicación que viene de la respecta las EHM.

En particular, X proyectiva lisa, Z, W subvariedades
 $H(X), H(X \setminus Z), H(X; W), H(X \setminus Z; W \setminus Z)$
tienen estructuras de Hodge mixtas.

Volvemos al caso de los ciclos

X variedad proyectiva y lisa $\dim M$

Z, W ciclos de codimensiones p, q $p+q=m+1$

$$Z \cap W = \emptyset$$

$$\mathcal{d}(Z) = \mathcal{d}(W) = 0$$

Sucesión exacta larga \mathbb{Z}

$$H_{\mathbb{Z}}^{2p-1}(X) = 0$$

$$C(\mathbb{Z}) \rightarrow 0$$

$$0 \rightarrow H^{2p-1}(X) \rightarrow H^{2p-1}(\underline{X \setminus \{z\}}) \rightarrow \underline{H_{\mathbb{Z}}^{2p}(X)} \rightarrow H^{2p}(X)$$

pura de peso
 $2p-1$

mixta

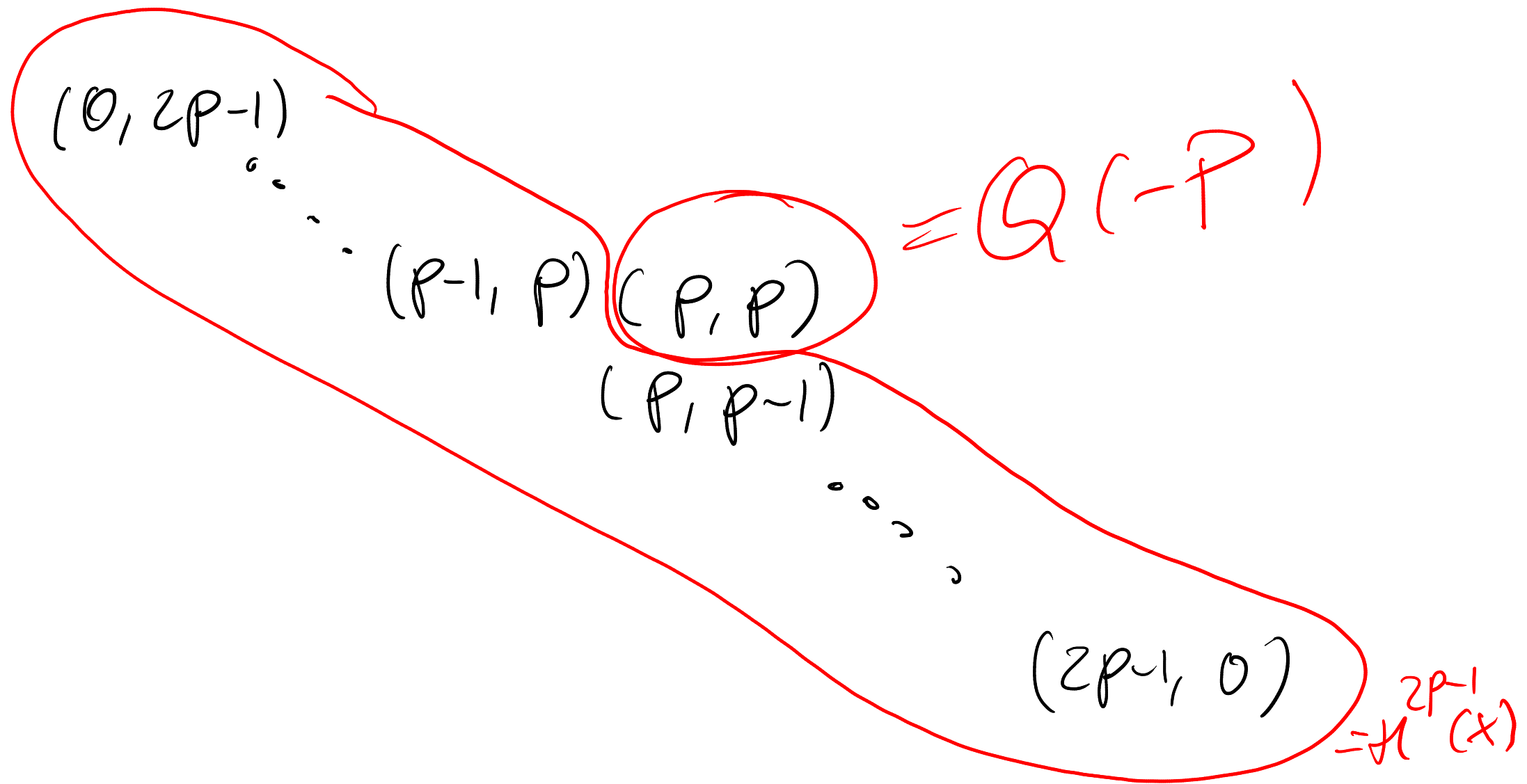
pura de peso $2p$

Sucesión exacta larga

$$\begin{array}{ccccccc} 0 & \rightarrow & H^{2p-1}(X) & \rightarrow & H^{2p-1}(X \setminus \{z\}) & \rightarrow & H_Z^{2p}(X) \rightarrow H^{2p}(X) \\ & & \uparrow & L & \uparrow d(z) & & \uparrow \\ 0 & \rightarrow & \underline{H^{2p-1}(X)} & \rightarrow & \underline{E_Z} & \rightarrow & \underline{Q(-p)} \rightarrow 0 \end{array}$$

E_Z es la extensión asociada a Z

Estructura:



Extension dual para \mathcal{W}

$$\begin{array}{ccccccc} H^{2n-2g}(x) & \rightarrow & H^{2n-2g}(w) & \rightarrow & H^{2n-2g+1}(x; w) & \rightarrow & H^{2n-2g+1}(x) \rightarrow 0 \\ \downarrow // / & & \downarrow cl(w) & & \text{red line} & & \text{red line} \\ 0 & \rightarrow & Q(g-n) & & & & . \end{array}$$

$$\dim \mathcal{W} = n - g$$

$$2n-2g+1 = 2p-1$$

$$p+q = n+1 \quad \Rightarrow$$

La extensión dual de W es:

$$\begin{array}{ccccccc}
 H^{2M-2q}(x) & \rightarrow & H^{2M-2q}(\nu) & \rightarrow & H^{2M-2q+1}(x;\nu) & \rightarrow & H^{2M-2q+1}(x) \rightarrow 0 \\
 \downarrow & & \downarrow cl(\nu) & & \downarrow & & \downarrow \\
 0 & \rightarrow & Q(q-m) & \rightarrow & E\nu & \rightarrow & H^{2p-1}(x) \rightarrow 0
 \end{array}$$

E_Z E_U^{\checkmark} com partem $H^{2p_1}(x)$

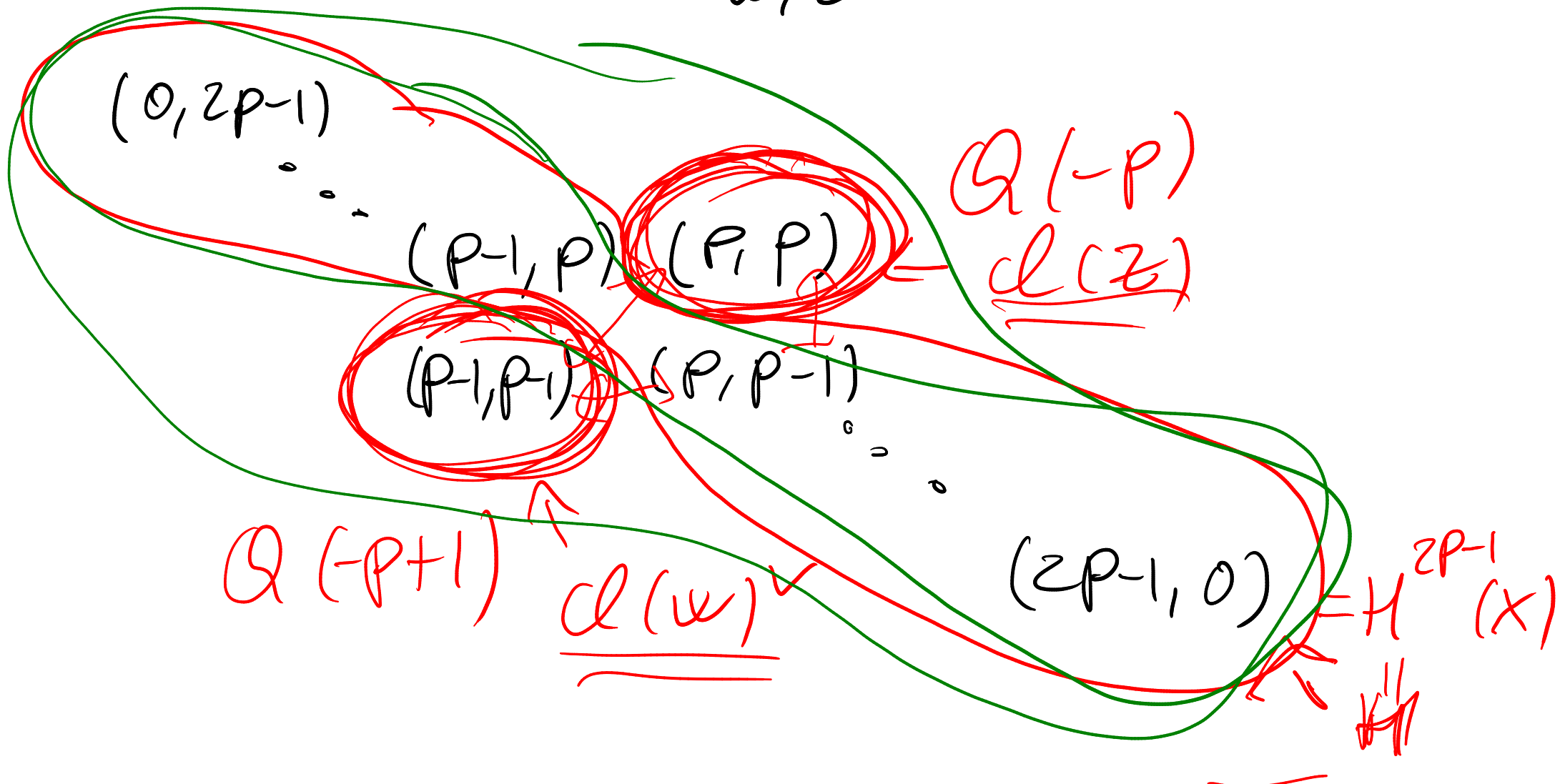
¿ Se pueden regar?

Diagrams

Del diagramma anteriore deduciamo

$$\begin{array}{ccccccc} 0 & \rightarrow & \underline{\mathbb{Q}(-p+1)} & = & \mathbb{Q}(-p+1) & \rightarrow & 0 \\ & & \downarrow & & \downarrow & & \downarrow \\ 0 & \rightarrow & \underline{E_{\mathcal{W}}} & \rightarrow & \boxed{B_{W,Z}} & \rightarrow & \mathbb{Q}(-p) \rightarrow 0 \\ & & \downarrow & & \downarrow & & \parallel \\ 0 & \rightarrow & \underline{H^{2p-1}(X)} & \rightarrow & \underline{E_Z} & \rightarrow & \mathbb{Q}(-p) \rightarrow 0 \\ & & \downarrow & & \downarrow & & \downarrow \\ & & 0 & & 0 & & 0 \end{array}$$

Estructura de $B_{w,z}$



bisección de EHM

Teorema de Hahn

Fijamos H una estructura de Hedge pura
de peso $2P-1$

En la categoría $MHS_{\underline{R}}$

{ Clases de iso de
estructuras con la forma } $\xrightarrow[\sim]{can}$ \mathbb{R}
de $B_{w,z}$

$$B_{w,z} + \longrightarrow \langle w, z \rangle_\infty$$

Ciclos superiores (Versión áticoan)

$K_0(X)$ grupo K-de X librados vee. virtudes

$CH^*(X)$ grupo de Chow de ciclos

Si X proyectiva y lisa

$$K_0(X) \otimes \mathbb{Q} \xrightarrow[\text{ch}]{} CH^*(X) \otimes \mathbb{Q}.$$

K_0 se extiende a los grupos $K_i \ i \geq 0$

CH^* se extiende a los grupos $CH^*(X, m)$ $m \geq 0$

Notación

$$\mathbb{D} = \mathbb{P}^1 \setminus \{1\} \cong \mathbb{A}^1$$

$$\partial \mathbb{D} = \{0, \infty\}$$

$$\mathbb{D}^n = \mathbb{D} \times \cdots \times \mathbb{D}$$

$\partial \mathbb{D}^n$ = alguna coordenada igual a 0 o ∞ .

Cara $\mathcal{D}_j^i \mathbb{D}^n = \mathbb{D} \times \cdots \times \mathbb{D} \times \underbrace{\{j\}}_{\substack{i \\ \text{---}}} \times \cdots \times \mathbb{D}$

$$i=1, \dots, n$$

$$j=0, \infty$$

$$j = \underline{0, \infty}$$

$\text{cod} \rightarrow \underline{\mathbb{Z}}^P(X, m)_{\text{oo}}$ = ciclos en $X \times \mathbb{D}^m$
de codimensione P
contan todas las caras propiamente

y además $(\partial_j^i)^* z = 0$

para $i > 1$ $j=0, \infty$; $i=1$ $j=\infty$

aplicación $(\partial_0^1)^*: \underline{\mathbb{Z}}^P(X, m) \rightarrow \underline{\mathbb{Z}}^P(X, m-1)$

$\underline{CH}^P(X, m) := H_m(\underline{\mathbb{Z}}^P(X), (\underline{\partial_0^1})^*)$

Dos esquemas relativos

En $\underline{(P^l)^m}$ definimos

A $\subseteq (P^l)^m$ alguna coordenada \perp

B $\subseteq (P^l)^m$ alguna coordenada vale $0 \in \mathbb{C}$

$$(G_m)^m = (P^l)^m \setminus B \quad \square^m = (P^l)^m \setminus A$$

Esquemas relativos

$$\square^m = (\square^m, B) \leftrightarrow G_m^m = (G_m^m, A)$$

dualidad

Cohomología

$$H^r(D^n) = \begin{cases} \mathbb{Q}(0) & \text{Si } r=m \\ 0 & r \neq m \end{cases}$$

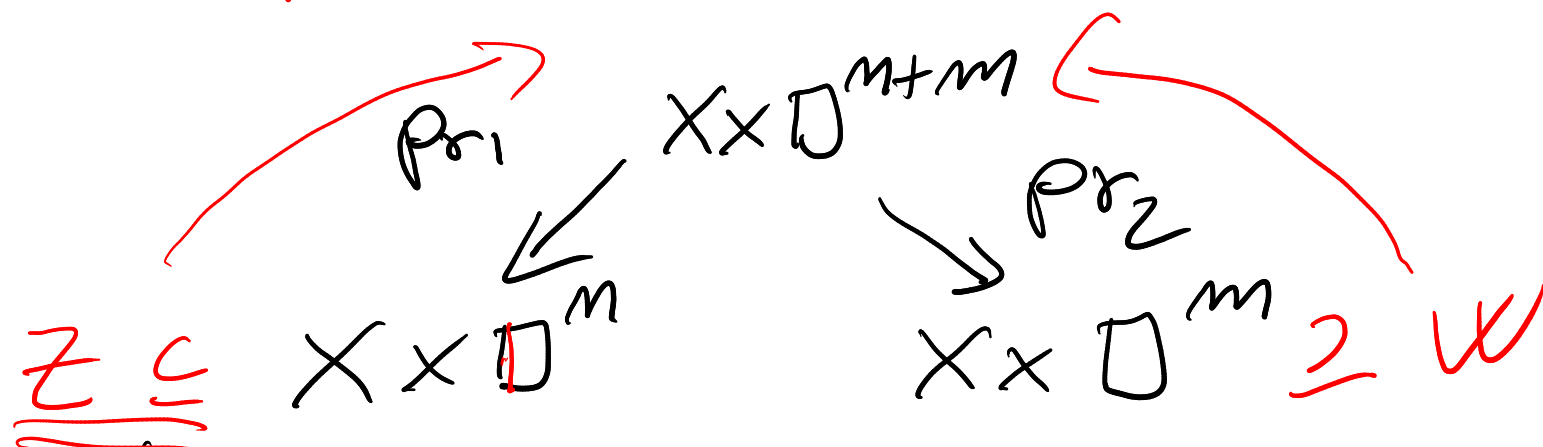
$$H^r(G_m) = \begin{cases} \mathbb{Q}(-m) & r=m \\ 0 & r \neq m \end{cases}$$

Ciclos superiores

$$\dim X = d$$

$$Z \in Z^p(X, M)_{\text{oo}} \quad W \in Z^q(X, M)_{\text{oo}}$$

con $2(p+q-d-1) = m+m *$



$$\begin{aligned} \dim(\text{Pr}_1^{-1} Z \cap \text{Pr}_2^{-1} W) &= d + m + m - p - q \\ &= \frac{m+m}{Z} - 1 \end{aligned}$$

Escribimos

$$\underline{\tilde{X}} = \underline{X} \times \underline{\mathbb{D}^m} \times \underline{G_m^m}$$

$$\begin{aligned}\underline{\tilde{Z}} &= \underline{Z} \times \underline{G_m^m} \\ \underline{\tilde{W}} &= \underline{W} \times \underline{\mathbb{D}^m}\end{aligned}$$

Así $H^r(\tilde{X}) = H^{r-m-m}(X)(-m)$

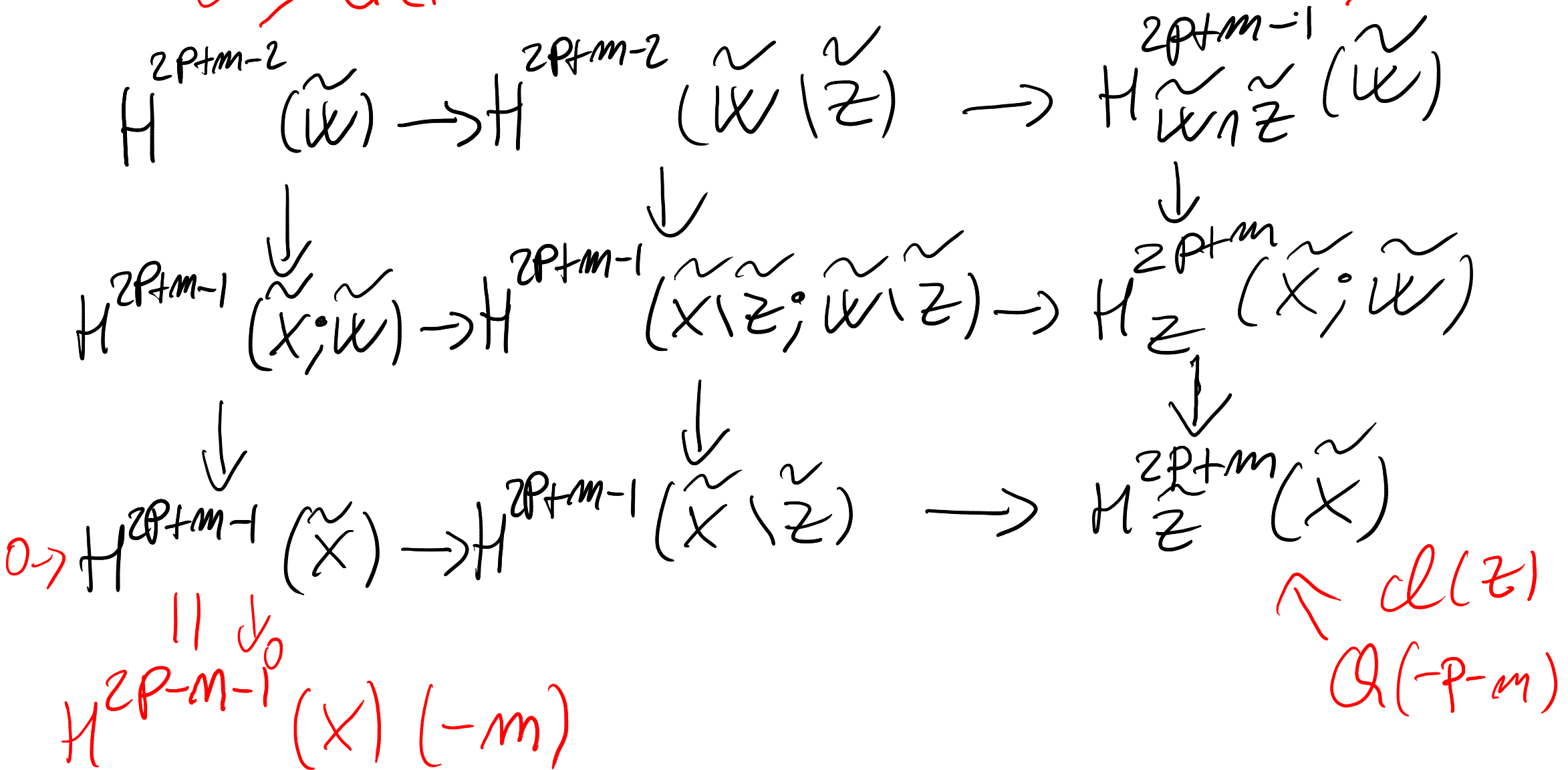
$$\begin{aligned}\underline{cl(Z)} &\in H^{2p}(X \times \mathbb{D}^m) = H^{2p-m}(X) \\ &= \underline{H^{2p+m}(\tilde{X})(m)}\end{aligned}$$

$$\begin{aligned}\underline{cl(W)} &\in H^{2q}(X \times \mathbb{D}^m) = H^{2d+2m-2q}((X \times G_m^m)^V(-d-q)) \\ &= H^{2d+2m-2q+m}(\tilde{X})^V(-d-q) = \underline{H^{2p+m-2}(\tilde{X})^V(-d-q)}\end{aligned}$$

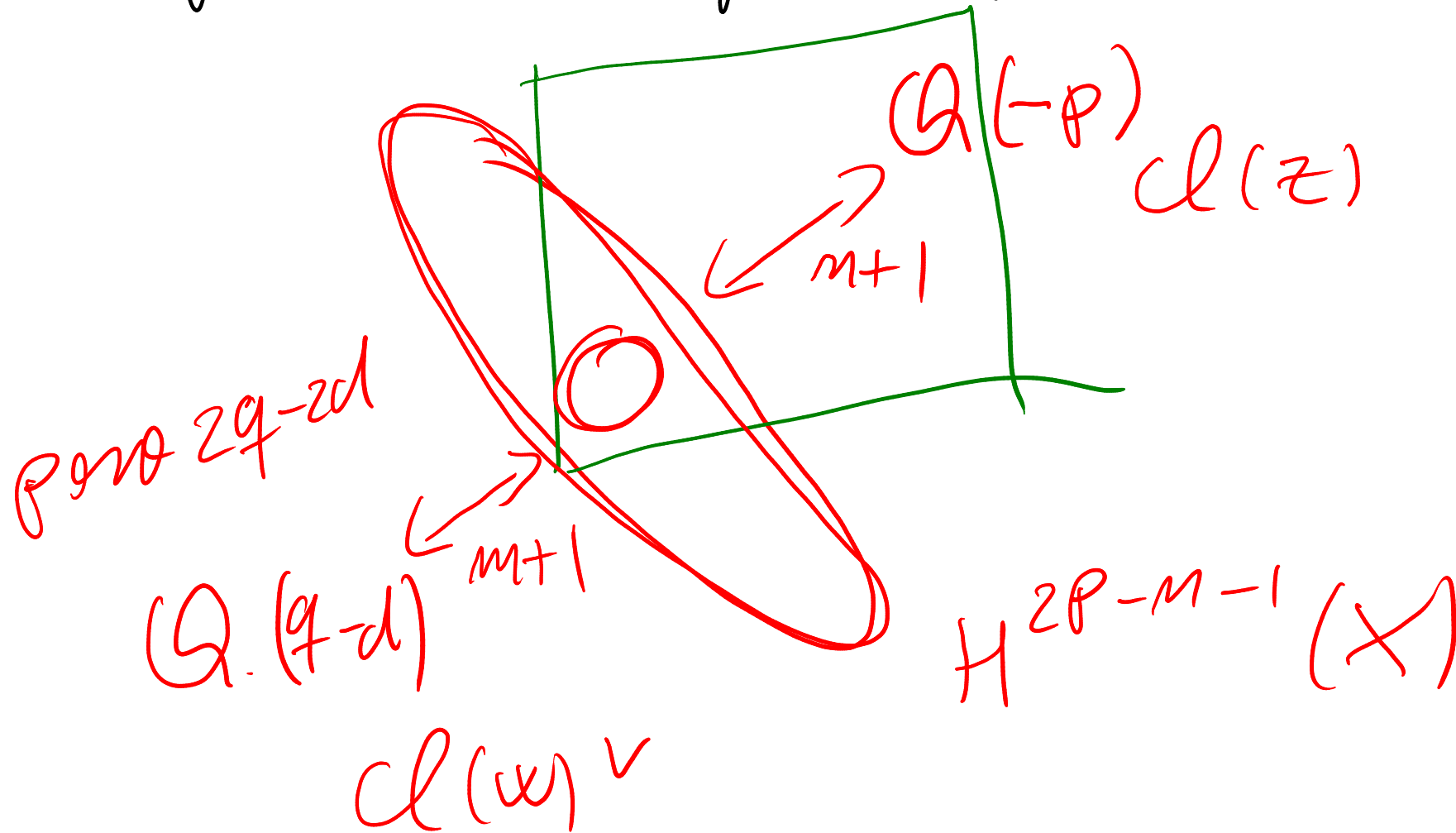
Gran diagramma (poco preciso)

$\partial(\omega) \rightarrow Q(q-m-d)$

XO



Obtenemos una EHM del siguiente tipo
(después de tensor por m)



Caso $m = m = 1$

$$\dim \tilde{\Sigma} \cap \tilde{W} = 0$$

más fácil de controlar

$$EHM = H = \left\{ \begin{array}{l} H^{2p-2} (x) \\ \oplus Q(-p)^{\oplus s} \\ \oplus Q(1-p)^{\oplus t} \\ \oplus Q(2-p) \end{array} \right.$$

pero $2p$

pero $2p-2$

pero $2p-4$

Invariante I_4

$x \in H$ cuya proyección a $\mathcal{Q}(-P)$
en el generador canónico $\mathcal{Q}(z)$

$$I_4(H) = \text{proyección}_{\mathcal{Q}(2-P)}(X - \bar{x})$$

Teorema (-, Goursat, Peano)

Si $\underline{\text{Reg}}(z) = \underline{\text{Reg}}(w) = 0$

y $m = m = 1$

$$\langle z, w \rangle_0 = I_y(H)$$

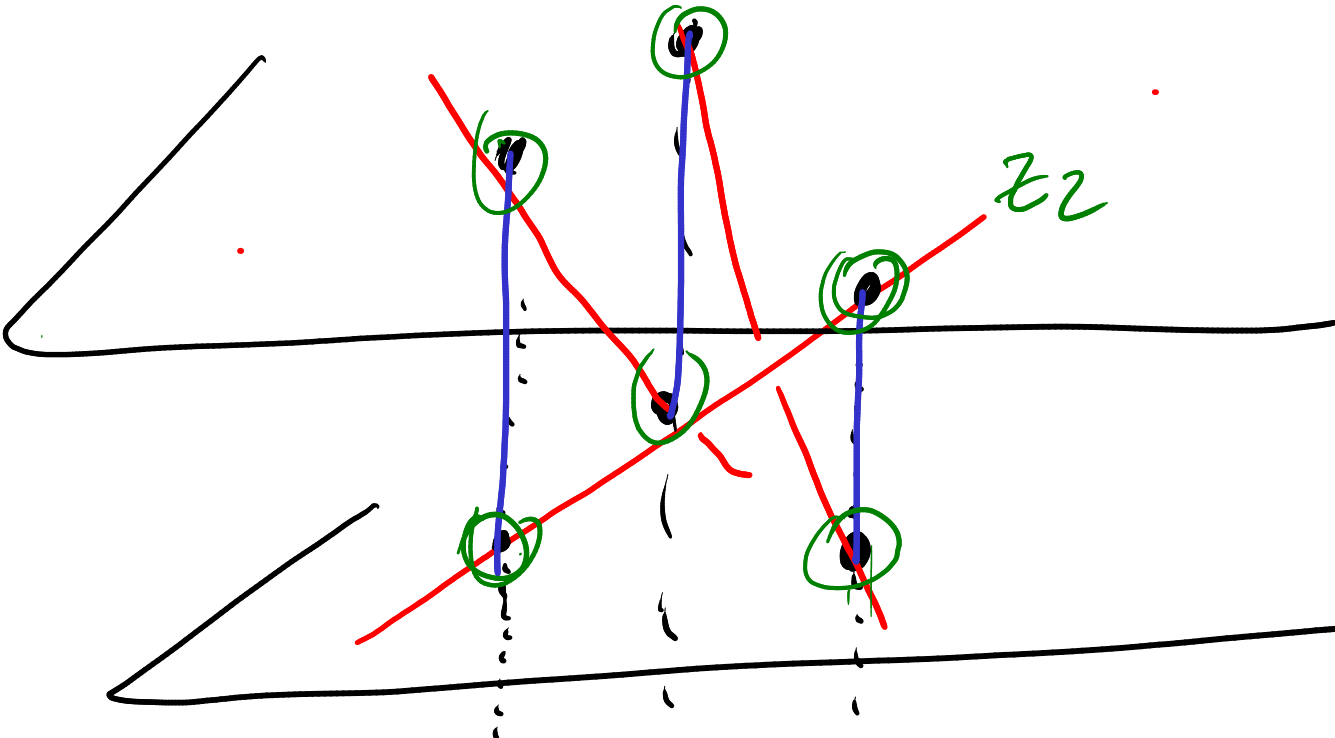
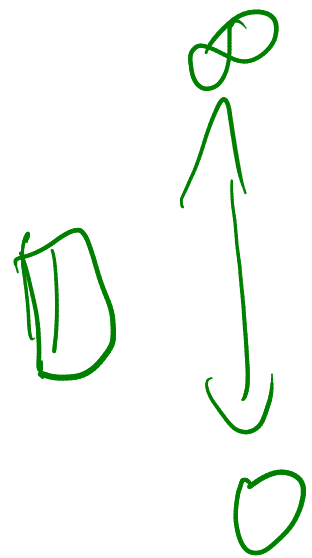
Ejemplo

$$X = \mathbb{P}^2$$

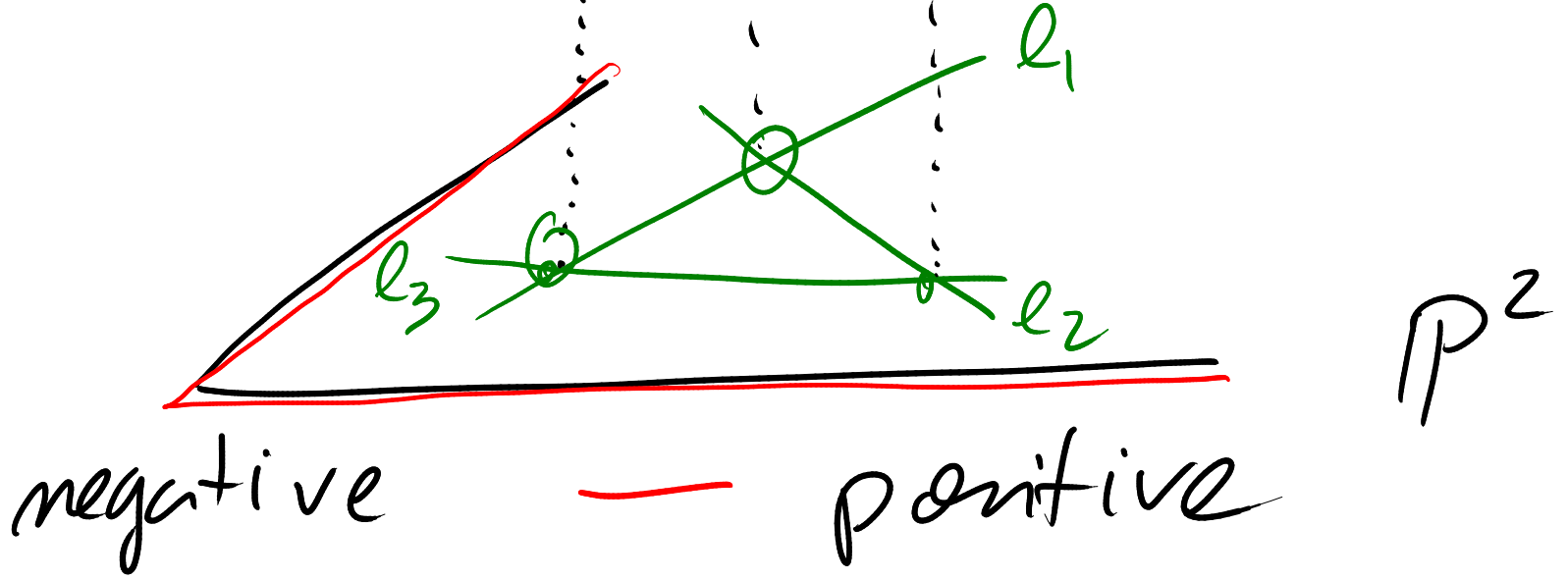
$S_1, S_2, S_3 \in \mathcal{N}(X, \mathcal{O}(1))$ incluy

$$l_i = \dim S_i \quad \underline{f_i} = \frac{s_{i+1}}{s_{i+2}} \quad p_i = l_{i+1} \cap l_{i+2}$$

$$Z(S_1, S_2, S_3) \in Z^2(\mathbb{P}^2, \underline{1})_{00}$$



$$IP^2 \times h \propto \zeta$$



$$P^2$$

$$IP^2 \times f \propto \zeta$$

En este caso:

$$\langle \mathcal{Z}(S_1 S_2 S_3), \mathcal{Z}(S'_1 S'_2 S'_3) \rangle$$

$$= \frac{1}{2\pi i} \sum_k D_2(a_k)$$

Donde D_2 es la función dilogaritmo de B洛ch-Wigner.